

Bild / Fig. 1  
 Kollektor-Emitter-Spannung im Sättigungsbereich (typisch) /  
 Collector-emitter-voltage in saturation region (typical)  
 $V_{GE} = 15 \text{ V}$   
 - - - - -  $t_{vj} = 25^\circ\text{C}$   
 ———  $t_{vj} = 125^\circ\text{C}$

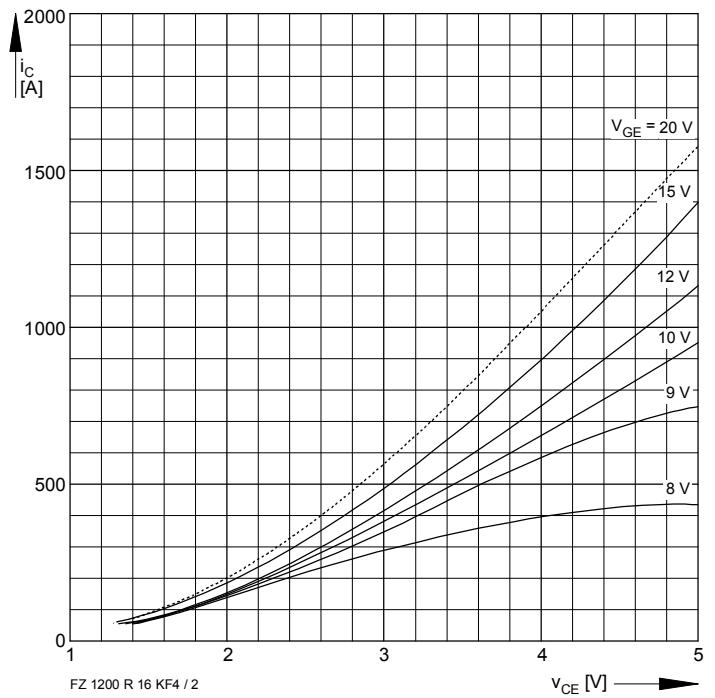


Bild / Fig. 2  
 Kollektor-Emitter-Spannung im Sättigungsbereich (typisch) /  
 Collector-emitter-voltage in saturation region (typical)  
 $t_{vj} = 125^\circ\text{C}$

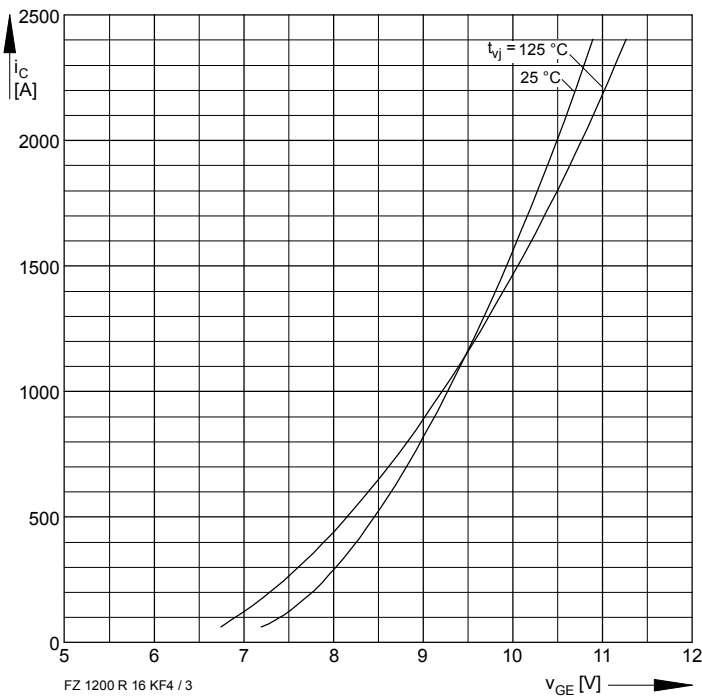


Bild / Fig. 3  
 Übertragungscharakteristik (typisch) /  
 Transfer characteristic (typical)  
 $V_{CE} = 20 \text{ V}$

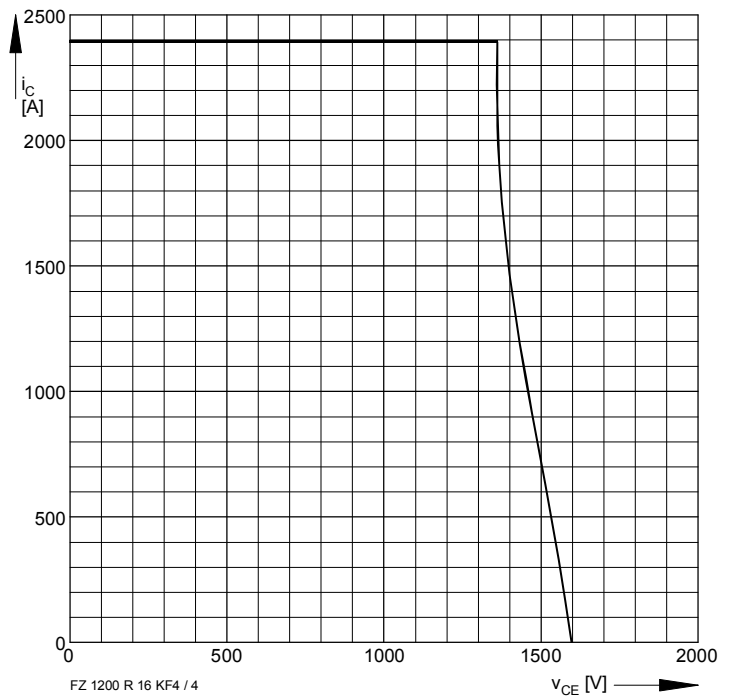


Bild / Fig. 4  
 Rückwärts-Arbeitsbereich /  
 Reverse biased safe operating area  
 $t_{vj} = 125^\circ\text{C}$   
 $v_{LF} = v_{LR} = 15 \text{ V}$   
 $R_G = 1,8 \Omega$

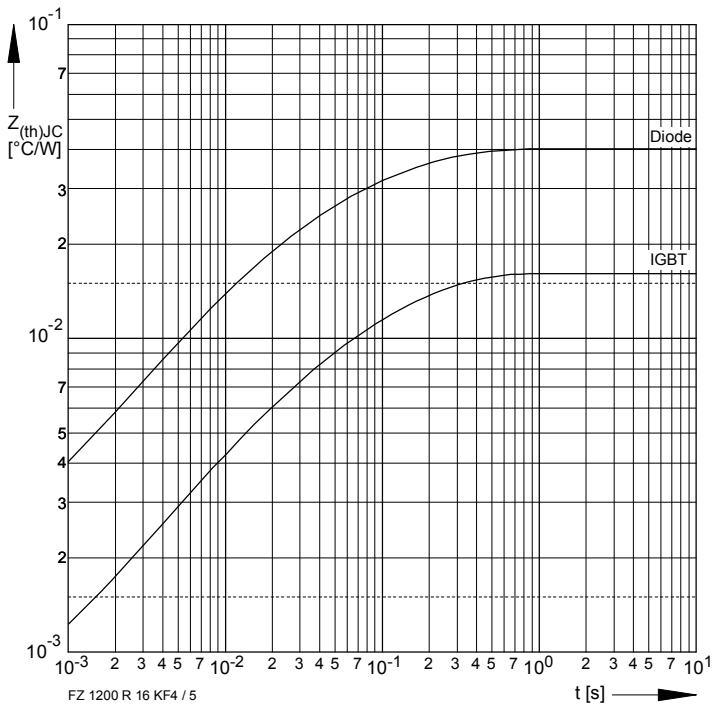


Bild / Fig. 5  
 Transienter innerer Wärmewiderstand (DC) /  
 Transient thermal impedance (DC)

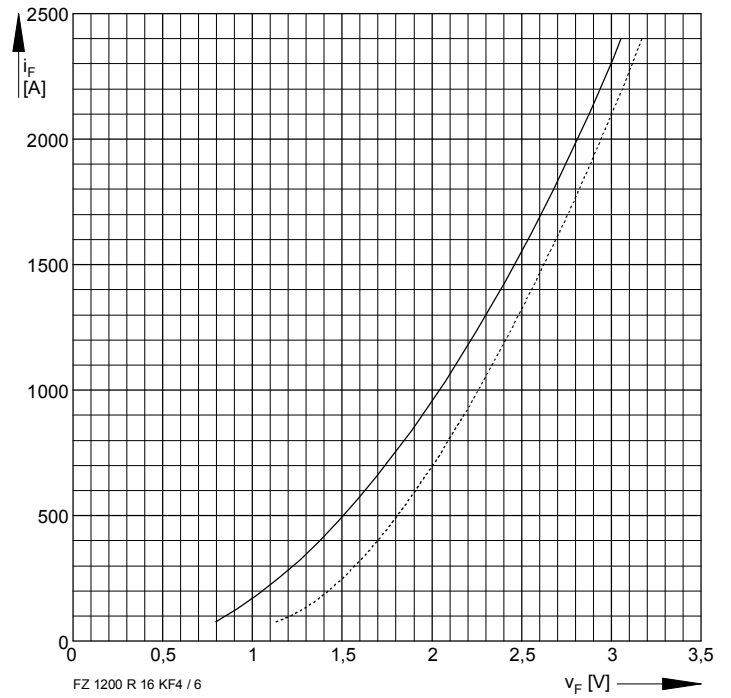


Bild / Fig. 6  
 Durchlaßkennlinie der Inversdiode (typisch) /  
 Forward characteristic of the inverse diode (typical)  
 -----  $t_{vj} = 25^{\circ}\text{C}$   
 —————  $t_{vj} = 125^{\circ}\text{C}$